



Semnan University

Journal of Modeling in Engineering

Journal homepage: <https://modelling.semnan.ac.ir/>

ISSN: 2783-2538



Research Article

A Modified Grey Wolf Algorithm with Applications to Engineering

Vahid Mahboub ^{a,*}

^a Department of Surveying Engineering, Faculty of Engineering, Golestan University, Aliabad Katoul, Iran

PAPER INFO

Paper history:

Received: 03 February

2023

Revised: 31 August 2023

Accepted: 10 September
2023

Keywords:

GWO,
Nonlinear model,
Optimization,
Decreasing factor.

ABSTRACT

In this contribution, a modified gray wolf algorithm for use in engineering applications is presented. The grey wolf algorithm is one of the meta-heuristic optimization methods that has recently been widely used by researchers due to its good capabilities. The mechanism is free of derivation, simple in execution and implementation, and only needs target function as input of the problem, among other things that make the gray wolf algorithm popular and of interest. But the problem that can be mentioned about it is that the decreasing factor used in it is linear and in some non-linear problems, it may cause more error or late convergence to the original solution. This bottleneck is solved by presenting a modified grey wolf algorithm. Then the results are compared in the form of an applied numerical example in engineering sciences with the classic grey wolf algorithm and some similar proposed coefficients to determine the efficiency of the modified algorithm.

DOI: <https://doi.org/10.22075/jme.2023.29814.2401>

© 2024 Published by Semnan University Press.

This is an open access article under the CC-BY 4.0 license. (<https://creativecommons.org/licenses/by/4.0/>)

* Corresponding author.

E-mail address: v.mahboub@gu.ac.ir

How to cite this article:

Mahboub, V. (2024). A modified grey wolf algorithm with applications to engineering. *Journal of Modeling in Engineering*, 22(76), 189-195. doi: 10.22075/jme.2023.29814.2401

مقاله پژوهشی

یک الگوریتم اصلاح شده گرگ خاکستری برای کاربردهای مهندسی

وحید محبوب^{۱*}

اطلاعات مقاله	چکیده
دریافت مقاله: ۱۴۰۱/۱۱/۱۴ بازنگری مقاله: ۱۴۰۲/۰۶/۰۹ پذیرش مقاله: ۱۴۰۲/۰۶/۱۹	در این مقاله یک الگوریتم اصلاح شده گرگ خاکستری جهت استفاده در کاربردهای مهندسی ارائه می‌گردد. الگوریتم گرگ خاکستری از جمله روش‌های بهینه‌سازی فرالبتکاری است که به دلیل قابلیت‌های خوبی که دارد، به تازگی مورد استفاده گسترده محققان قرار گرفته است. مکانیزم عاری از مشتق‌گیری، سادگی در اجرا و پیاده‌سازی و تنها نیاز به تابع هدف به عنوان ورودی مسئله، از جمله مواردی است که الگوریتم گرگ خاکستری را محبوب و مورد توجه می‌کند. اما مشکلی که در خصوص آن می‌توان اشاره کرد این است که ضریب کاهشی مورد استفاده در آن خطی است و در برخی مسایل غیر خطی سبب ایجاد خطای بیشتر یا دیر همگرا شدن به جواب اصلی می‌گردد. این نقصان با ارائه یک الگوریتم گرگ خاکستری اصلاح شده مرتفع می‌شود. سپس نتایج در قالب یک مثال عددی کاربردی در علوم مهندسی با الگوریتم اولیه گرگ خاکستری و همچنین برخی ضرایب پیشنهاد شده مشابه مقایسه می‌گردد تا کارآیی الگوریتم اصلاح شده، مشخص شود.
واژگان کلیدی:	الگوریتم گرگ خاکستری، مدل غیرخطی، بهینه سازی، ضریب کاهشی.

DOI: <https://doi.org/10.22075/jme.2023.29814.2401>

© 2024 Published by Semnan University Press.

This is an open access article under the CC-BY 4.0 license. (<https://creativecommons.org/licenses/by/4.0/>)

گرفته‌اند و به راحتی برای مسائل مختلف قابل استفاده هستند زیرا تنها ورودی و خروجی یک سیستم برای یک آن‌ها مهم است [۴]. الگوریتم‌های فرالبتکاری می‌توانند به سه دسته کلی تقسیم شوند: ۱- مبتنی بر تکامل ۲- مبتنی بر فیزیک ۳- مبتنی بر ازدحام. مبتنی بر تکامل روش‌هایی هستند که از قوانین تکامل طبیعی الهام گرفته شده‌اند. جستجوی فرآیند با جمعیتی که به طور تصادفی تولید می‌شود، شروع می‌شود. از معروف‌ترین این الگوریتم‌ها می‌توان به الگوریتم ژنتیک اشاره کرد. روش‌های فیزیکی از قوانین فیزیکی موجود در دنیای پیرامون تعییت می‌کنند که می‌توان از روش جستجوی محلی گرانشی به عنوان یکی از روش‌های معروف این دسته نام برد. گروه سوم شامل تکنیک‌های گروهی است که رفتار اجتماعی گروه‌هایی از حیوانات را تقلید می‌کنند. از کولونی مورچه می‌توان به

۱- مقدمه^۱

بهینه‌سازی یکی از مسائل مهم در علوم کاربردی و مهندسی است. این مسئله زمانی مهمتر می‌شود که با مدل‌های غیر خطی روبرو می‌شویم. برای نمونه به [۱] و [۲] مراجعه شود. با پیشرفت تکنولوژی‌های کامپیوتی، روش‌های عددی رونق بیشتری یافته. به طور خاص، در دهه‌های اخیر، روش‌های فرالبتکاری به عنوان ابزاری کارآمد در حل مسائل مختلف مهندسی توسعه یافته‌اند که مزایای عمدہ‌ای نسبت به روش‌های پیشین دارند.

بکارگیری آسان، مکانیسم بدون مشتق‌گیری و اجتناب از بهینه محلی دلایلی هستند که روش‌های فرالبتکاری را بسیار مورد توجه قرار می‌دهند. حتی برخی از آنها مانند الگوریتم ژنتیک [۳] در بین تمام علوم کاربردی کاملاً شناخته شده هستند. این الگوریتم‌ها از طبیعت الهام

* پست الکترونیک نویسنده مسئول: v.mahboub@gu.ac.ir

۱. استادیار، گروه مهندسی نقشه‌برداری، دانشکده مهندسی، دانشگاه گلستان، علی آباد کتول، ایران

استناد به این مقاله:

محبوب، وحید. (۱۴۰۳). یک الگوریتم اصلاح شده گرگ خاکستری برای کاربردهای مهندسی. مدل سازی در مهندسی، ۷۶(۲۲)، ۱۸۹-۱۹۵.
doi: 10.22075/jme.2023.29814.2401

تابع کلاسیک مربوط به خود الگوریتم گرگ خاکستری مقایسه انجام می‌شود. به طور کلی می‌توان گفت الگوریتم ارایه شده در مقاله می‌تواند در تمام گستره کاربردهای الگوریتم‌های فرالبتکاری استفاده شود و محدودیت خاصی ندارد. به عبارتی در هر مسئله‌ی مهندسی که تابع هدف آن به نوعی در مشتق‌گیری یا بدست آوردن بهینه جهانی مشکل دارد قابل استفاده می‌باشد. به شکل خاص الگوریتم پیشنهادی در این مقاله در یک مسئله‌ی غیر محدب به نام EIV به کار گرفته می‌شود که در علوم مهندسی مختلف از جمله نقشه‌برداری، رباتیک، پردازش تصویر و ... استفاده می‌شود. به عنوان نمونه در مهندسی نقشه‌برداری از آن می‌توان در تبدیل بین سیستم جهانی و سیستم محلی استفاده کرد. مثال دیگر برآش منحنی است که در اینجا استفاده شد. تعیین موقعیت ماهواره‌ای و ناویری از دیگر مثال‌های بارز می‌باشند.

در ادامه این مقاله بدین صورت تدوین شده است: در بخش ۲ مفاهیم اولیه بهینه‌سازی گرگ خاکستری ارائه شده است، سپس روش فرالبتکاری بهبود یافته در بخش ۳ می‌شود. در ادامه در بخش ۴، کارایی الگوریتم پیشنهادی را با دو مثال مهندسی بررسی می‌کیم. در نهایت مقاله را در بخش ۵ جمع‌بندی می‌کنیم.

۲-بهینه‌سازی گرگ خاکستری

الگوریتم بهینه‌سازی گرگ خاکستری (GWO) [۴] اخیراً توسط ارائه شده است. این الگوریتم فرالبتکاری از سلسله مراتب رهبری و مکانیسم شکار گرگ‌های خاکستری در طبیعت الهام گرفته شده است. گرگ‌های خاکستری از سلسله مراتب شدیدی از سلطه اجتماعی پیروی می‌کنند. بهترین راه حل به عنوان α که رهبر گروه گرگ‌های خاکستری است مشخص شده است. دومین راه حل برتر به عنوان β مشخص می‌شود که به α در تصمیم‌گیری کمک می‌کند و همچنین بهترین نامزد در صورت فوت یا پیر شدن α می‌باشد، راه حل سوم عنوان δ و بقیه راه حل‌ها با علامت گذاری می‌شوند. با توجه به این طبقه‌بندی، GWO شامل دو بخش محاسباتی اصلی است: ۱. احاطه کردن طعمه، ۲. حمله به طعمه. بر اساس [۴] احاطه کردن طعمه به شرح زیر است:

$$\vec{X}(t+1) = \vec{X}_p(t) - \vec{A}\vec{D} \quad (1)$$

$$\vec{D} = |\vec{C}\vec{X}_p(t) - \vec{X}(t)| \quad (2)$$

عنوان بارزترین مثال این نوع از الگوریتم‌ها یاد کرد. در ادامه مروری اجمالی بر چند روش فرالبتکاری مهم انجام می‌دهیم. یک رویکرد لاغرانژی تقویت‌شده مبتنی بر الگوریتم زنتیک برای مقابله با مسائل بهینه‌سازی محدود توسط [۵] پیشنهاد شد که در آن از یک روش بهینه‌سازی کلاسیک برای بهبود راه حل به دست‌آمده از الگوریتم زنتیک استفاده می‌شود. علاوه بر این، یک استراتژی موثر برای به روز رسانی پارامترهای حیاتی به شیوه‌ای تطبیقی بر اساس آمار جمعیت ارائه شده است. یک الگوریتم جستجوی فاخته بر اساس روش جستجوی محلی Wets و Solis برای مسائل بهینه‌سازی جهانی محدود توسط [۶] توسعه داده شد که بر یک تابع لاغرانژی اصلاح شده جهت اعمال قید تکیه دارد. [۷] یک الگوریتم جدید کلونی زنبورهای مصنوعی (ABC) را برای مسائل بهینه‌سازی محدود ارائه کرد که در آن از دو عملگر جستجوی ABC اصلاح شده مختلف استفاده می‌کند. در این مقاله، روش بهینه‌سازی گرگ خاکستری (GWO) که توسط [۴] پیشنهاد گردید و دارای ویژگی‌های بارزی است بهبود می‌دهیم. را با محدودیت‌های نابرابری تجهیز می‌کنیم. GWO از سلسله مراتب رهبری و مکانیسم شکار گرگ‌های خاکستری در طبیعت الهام گرفته شده است. این روش عمده‌ای شامل سلسله مراتب اجتماعی، احاطه بر طعمه و حمله به طعمه است. مطالعات اولیه نشان می‌دهد که الگوریتم GWO عملکرد بسیار قابل قبولی دارد و می‌تواند از الگوریتم‌های مبتنی بر جمعیت موجود، مانند الگوریتم زنتیک (GA)، الگوریتم بهینه‌سازی ازدحام ذرات (PSO)، الگوریتم تکامل تفاضلی (DE) و الگوریتم جستجوی گرانشی (GSA) بهتر عمل کند [۴]. گرگ خاکستری الزامات خاصی در تابع هدف ندارد، به عنوان مثال به ویژگی‌های ریاضی دقیق مسئله بهینه‌سازی بستگی ندارد. علاوه بر این، مکانیسم‌های آنها به راحتی قابل پیاده‌سازی است و تطبیق پذیری قوی دارد.

یکی از نقاطی این الگوریتم که بهتر است اصلاح شود مربوط به ضریب کاهشی است که در آن گنجانده شده است و سبب می‌گردد در حل برخی مسائل غیرخطی به خطای بیشتر بررسد و یا دیر همگرا گردد. اگرچه برخی محققین سعی نمودند این چالش را حل کنند اما به شکل مناسبی این کار را نکردند. به [۸] و [۹] مراجعه شود. در این مقاله ضمن پیشنهاد یک تابع مناسب برای توصیف ضریب کاهشی آن را با دو نمونه از توابعی که قبلاً پیشنهاد شده‌اند و همچنین

$$a_L = 2 \cos\left(\frac{\pi}{2} \cdot \frac{t}{\text{Max_iter}}\right) \quad (11)$$

$$a_Z = \tanh\left(-2\pi \cdot \frac{t}{\text{Max_iter}} + \pi\right) - 1 \quad (12)$$

که در آن a_L ضریب کاهشی پیشنهادی توسط لی و همکاران در [۸] و a_Z ضریب کاهشی پیشنهادی توسط ژانگ و همکاران در [۹] می‌باشدند. در این مقاله مقرر می‌کنیم ضریب کاهشی استاندارد خطی گرگ خاکستری را با همان نماد a نمایش دهیم. همانطور که در شکل (۱) می‌بینیم گرچه هر سه ضریب به صورت یکنواز نزولی از ۲ به سمت صفر در طول تکرارها حرکت می‌کنند، اما بررسی‌ها در مثال‌های عددی نشان می‌دهند در برخی مسائل غیرخطی این ضرایب به شکل کافی جواب‌گو نیستند. یک توجیه ریاضی که این مقاله بر آن متکی است، این می‌باشد که یکنواز نزولی بودن در بازه‌ی تکرار محاسبات، شرط مهمی است، اما در کنار آن، تعقر ضریب کاهشی همواره باید به سمت بالا باشد یا به عبارتی مشتق دوم ضریب کاهشی باید مثبت باشد. علت آن این است که تعقر همواره به سمت بالا سبب می‌شود الگوریتم گرگ خاکستری در تکرارهای ابتدایی بیش از اندازه پیرامون جواب‌های تقریبی و پرت نگردد و در همان دورهای ابتدایی تلاش برای رسیدن به جواب بینه را شروع کند. با توجه به استدلال‌هایی که گفته شد، در این مقاله یکتابع سهمی که از سه نقطه‌ی (۰,۰.۵)، ($\text{Max_iter}/2, 0.5$) و ($\text{Max_iter}/2, 0.2$) عبور می‌کند، می‌تواند تابعی باشد که حتی‌المقدور ساده بوده و خواص ریاضی مدنظر ما را داشته باشد. اگر ضریب اصلاح شده در این مقاله را با a_M نشان دهیم معادله آن به شکل زیر بدست می‌آید:

$$a_M = \frac{2}{\text{Max_iter}^2} t^2 - \frac{4}{\text{Max_iter}} t + 2 \quad (13)$$

اثبات: با فرض $\text{Max_iter} = n$ ، می‌بایست ضرائب مجھول $f(x) = b_1x^2 + b_2x + b_3$ از سهمی b_1, b_2 و b_3 گذرنده از سه نقطه ذکر شده عبور کند که به دستگاه سه معادله سه مجھول زیر می‌رسیم:

$$\begin{cases} b_3 = 2 \\ b_1 \frac{n^2}{4} + b_2 \frac{n}{2} + b_3 = \frac{1}{2} \\ b_1 n^2 + b_2 n + b_3 = 0 \end{cases} \quad (14)$$

از حل دستگاه (۱۴) به معادله (۱۳) می‌رسیم. با این اوصاف می‌توانیم الگوریتم اصلاح شده گرگ خاکستری را

$$\vec{A} = 2\vec{a}\vec{r}_1 - \vec{a} \quad (3)$$

$$\vec{C} = 2\vec{r}_2 \quad (4)$$

جایی که \vec{X} و \vec{p} به ترتیب بردار موقعیت طعمه و گرگ خاکستری را نشان می‌دهند، t نشان دهنده تکرار فعلی است، \vec{A} و \vec{C} بردارهای ضریب هستند، \vec{r}_1 و \vec{r}_2 بردارهای تصادفی در محدوده [۰, ۱] و اجزای بردار \vec{a} به صورت خطی از ۰ به ۲ در طول مسیر به صورت زیر کاهش می‌باید:

$$a = 2 - 2 \frac{t}{\text{Max_iter}} \quad (5)$$

که در آن Max_iter حداکثر تکرار است. پس از یافتن موقعیت طعمه توسط گرگ‌های خاکستری که آن را محاصره می‌کنند، می‌توان چنین رفتاری را به صورت زیر بیان کرد:

$$\vec{D}_\alpha = |\vec{C}_1 \vec{X}_\alpha - \vec{X}| \quad (6)$$

$$\vec{D}_\beta = |\vec{C}_2 \vec{X}_\beta - \vec{X}| \quad (7)$$

$$\vec{D}_\delta = |\vec{C}_3 \vec{X}_\delta - \vec{X}| \quad (8)$$

$$\vec{X}_1 = \vec{X}_\alpha - \vec{A}_1(\vec{D}_\alpha), \quad \vec{X}_2 = \vec{X}_\beta - \vec{A}_2(\vec{D}_\beta), \quad \vec{X}_3 = \vec{X}_\delta - \vec{A}_3(\vec{D}_\delta) \quad (9)$$

$$\vec{X}(t+1) = \frac{\vec{X}_1 + \vec{X}_2 + \vec{X}_3}{3} \quad (10)$$

در اینجا $\vec{X}_\alpha, \vec{X}_\beta$ و \vec{X}_δ به ترتیب بردارهای موقعیت گرگ‌های α, β و δ هستند، \vec{A}_i و \vec{C}_i مشابه \vec{A} و \vec{C} تولید می‌شوند.

۳- الگوریتم اصلاح شده گرگ خاکستری

همان‌طور که قبلاً گفته شد، الگوریتم گرگ خاکستری علیرغم قابلیت‌های خوبی که دارد نیاز به اصلاح در قسمت مربوط به معادله (۵) که توصیف‌کننده ضریب کاهشی است، می‌باشد. زیرا بررسی‌ها نشان داده است در حل برخی مسائل غیرخطی، ضریب کاهشی اگوریتم که خطی است سبب دیر همگرا شدن یا خطای بیشتر در حل مسئله کند. گرچه برخی محققین سعی نمودند این مشکل را حل کنند، ولی آن طور که باید این مشکل حل نگردید. به عنوان نمونه می‌توان به دو مورد که به ترتیب توسط [۸] و [۹] پیشنهاد شد اشاره کرد:

$$y = (A - \underline{E}_A)x + \underline{e} \quad (15)$$

$$\text{rank}(A_{m \times n}) = n < m,$$

$$\begin{bmatrix} \underline{e}_y \\ \underline{e}_A \end{bmatrix} := \begin{bmatrix} \underline{e}_y \\ \text{vec}(\underline{E}_A) \end{bmatrix} \sim \begin{pmatrix} [0] \\ [0] \end{pmatrix} \begin{pmatrix} Q_y & 0 \\ 0 & Q_A \end{pmatrix}$$

در این روابط y بردار مشاهدات دارای نویز، A ماتریس ضرائب که آن نیز مشاهده شده و دارای نویز است، \underline{e} و \underline{E}_A به ترتیب توصیف‌کننده خطای تصادفی این دو کمیت می‌باشد، x بردار مجھولات و σ_0^2 فاکتورس وریانس است. ضمناً Q_y و Q_A ماتریس وریانس متناظر با بردار مشاهدات و ماتریس ضرائب هستند. این مدل زمانی استفاده می‌شود که علاوه بر بردار مشاهدات، ماتریس ضرائب نیز مشاهده شده و نویزی باشد و آن را اخیراً در کاربردهای مهندسی به شکل گسترده استفاده کرده‌اند. برای نمونه به [۱۰ و ۱۱] مراجعه شود. یک حل تحلیلی موسوم به WTLS توسط [۱۱] برای آن ارائه شد که برخلاف الگوریتم گرگ خاکستری ارائه شده در این مقاله نسبتاً پیچیده است. اما در اینجا به عنوان معیار جواب درست، حل WTLS را برای مقایسه با الگوریتم این مقاله و همچنین ضرائب کاهشی مختلف استفاده شده، در نظر می‌گیریم. از [۱۱] می‌توان استنتاج کرد که تابع هدف این مدل به شکل زیر است:

$$\Phi(x) := (y - Ax)^T [Q_y + (x^T \otimes I_m) Q_A (x \otimes I_m)]^{-1} (y - Ax) \quad (16)$$

در این رابطه \otimes نماد نشان دهنده ضرب کرونکر است. همان‌طور که دیده می‌شود تابع هدف غیر خطی و غیر محدب است. اثبات این رابطه در پیوست آمده است. برای یک برازش خط در مهندسی نقشه‌برداری که هر دو مختصات x و y دارای خط‌هستند داده‌های زیر در اختیار است:

$$\begin{aligned} A = [-0.006 & 1 \quad y = [4.791 \\ 2.833 & 1 \quad 8.306 \\ 3.507 & 1 \quad 12.003 \\ -5.044 & 1 \quad -9.677 \\ 5.780 & 1 \quad 17.197 \\ 6.320 & 1 \quad 19.317 \\ -0.320 & 1 \quad 1.568 \\ 8.815 & 1 \quad 26.413 \\ -11.164 & 1 \quad -23.517 \\ 12.117 & 1 \quad 32.368] \end{aligned}$$

$$Q_y = I_{10}, \quad Q_A = \begin{bmatrix} 1 & 0 \\ 0 & 0 \end{bmatrix} \otimes I_{10}$$

به صورت زیر پیشنهاد نماییم:

گام اول: مقداردهی اولیه به کمیت‌های \vec{A} ، \vec{C} و \vec{X}_{δ}

گام دوم: تابع هدف را وارد کنید.

گام سوم: محاسبه تابع هدف برای هر یک از نمایندگان جستجو.

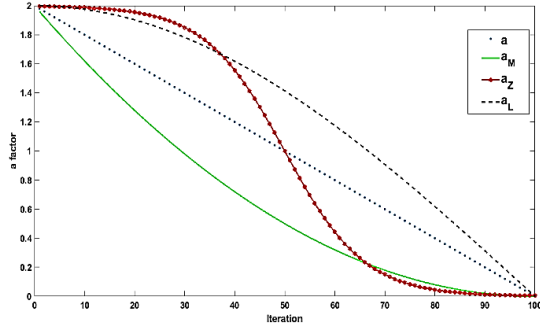
گام چهارم: انتخاب بهترین حل‌ها یعنی \vec{X}_{β} و \vec{X}_{δ}

گام پنجم: به روزرسانی موقعیت گرگ‌های خاکستری با معادله (۱۰).

گام ششم: به روزرسانی کمیت‌های \vec{A} ، \vec{C} .

گام هفتم: به روزرسانی a با معادله (۱۳).

گام هشتم: گام‌های سوم تا هفتم به صورت تکرار محاسبه شوند.



شکل ۱- منحنی‌های مربوط به ضریب کاهشی با تابع مختلف برای ۱۰۰ دور تکرار

۴- مثال عددی

در این قسمت یک مثال عددی را در قالب مدل EIV با استفاده از الگوریتم اصلاح‌شده گرگ خاکستری حل خواهیم کرد و نتیجه را با زمانی که از ضرائب خطی، a_L ، a_Z و a_M استفاده شده است مقایسه می‌کنیم. برای آشنایی با این مدل به [۱۰] مراجعه شود. این مدل حاوی یکسری از مجھولات تصادفی است که در واقع مرتبط با خطای تصادفی اندازه‌گیری‌های مهندسی می‌باشد و با خطای تصادفی که در مشاهدات سمت چپ رابطه‌ی [۱۵] وجود دارد فرق می‌کند. در دو دهه‌ی اخیر محققان در برخی از کاربردهای مهندسی چنانچه این نویز در نظر گرفته نشود می‌تواند سبب بدست آوردن یک جواب ناصحیح یا با صحت کم شود. این مدل ظاهرا خطی نه تنها خطی نیست بلکه نامحدود نیز می‌باشد.

اخیراً در برخی از علوم کاربردی و مهندسی از جمله مهندسی نقشه‌برداری، پردازش تصویر، ناوبری و ... استفاده شده است و به صورت زیر تعریف می‌شود:

فراابتکاری می‌توانند به عنوان یک ابزار کارآمد در این زمینه مفید واقع شوند. یکی از این الگوریتم‌ها که اخیراً معرفی گردید و دارای کارایی مناسبی است الگوریتم گرگ خاکستری می‌باشد. چالشی که فرا روی ما، ضریب کاهشی مورد استفاده در این الگوریتم است که خطی می‌باشد و سبب ایجاد خطای دیر همگرا شدن در برخی مسائل غیرخطی می‌شود. در این مقاله یک ضریب غیرخطی که یکنواخت نزولی بوده و تعقر آن همواره رو به بالاست پیشنهاد گردید تا این نقیصه رفع گردد. نتایج عددی حاکی از آن است که ضریب کاهشی جدید می‌تواند در حل و مدلسازی مسئله EIV به عنوان یکی از مسائل غیرخطی روز مهندسی، کارآئی خوبی داشته باشد و حتی نتایج برخی ضرائب دیگر که اخیراً پیشنهاد شده‌اند، را بهبود دهد.

۶- پیوست

بر اساس [۱۱] تابع هدف مدل EIV به صورت زیر می‌باشد:

$$\tilde{e}_y^T P_y \tilde{e}_y + \tilde{e}_A^T P_A \tilde{e}_A \quad (۱۷)$$

همانطور که در [۱۱] اثبات شد \tilde{e}_y و \tilde{e}_A با توجه به روابط زیر بدست می‌آیند:

$$\tilde{e}_y = Q_y \hat{\lambda} \quad (۱۸)$$

$$\tilde{e}_A = -Q_A (\hat{\xi} \otimes I_n) \hat{\lambda}. \quad (۱۹)$$

جایی که $\hat{\lambda}$ از رابطه زیر بدست می‌آید:

$$\hat{\lambda} = [Q_y + (\hat{\xi}^T \otimes I_n) Q_A (\hat{\xi} \otimes I_n)]^{-1} (y - A\hat{\xi}) \quad (۲۰)$$

با جایگذاری روابط (۱۸) و (۱۹) در رابطه (۱۷) و علم به این مطلب که $P_y = Q_y^{-1}$ و $P_A = Q_A^{-1}$ می‌توان به تابع هدف مدل EIV مطابق رابطه (۱۶) دست یافت.

$$\tilde{e}_y^T P_y \tilde{e}_y + \tilde{e}_A^T P_A \tilde{e}_A = (y - Ax)^T [Q_y + (x^T \otimes I_m) Q_A (x \otimes I_m)]^{-1} (y - Ax) \quad (۲۱)$$

در این مثال که با پنج روش حل می‌شود، مجہولات x شامل $[c_1 \ c_2]$ شیب و عرض از مبدا خط مورد نظر هستند. اگر \hat{x}_{WTLS} ، \hat{x}_G ، \hat{x}_L و \hat{x}_M به ترتیب مجہولات برآورده با با روش WTLS، ضریب کاهشی خطی الگوریتم گرگ خاکستری a ، ضریب کاهشی a_L ، ضریب کاهشی a_Z و ضریب کاهشی ارائه شده در این مقاله یعنی a_M باشند، نتایج بدست آمده در جدول ۱ را می‌توان با یکدیگر مقایسه نمود.

جدول ۱- مجہولات برآورده با روش‌های مختلف

مجہولات	c_1	c_2
\hat{x}_{WTLS}	2.459	3.258
\hat{x}_G	2.647	0.863
\hat{x}_L	2.617	1.430
\hat{x}_Z	2.529	2.322
\hat{x}_M	2.456	3.293

اگر مجموع قدر مطلق خطاهای را به عنوان معیار نزدیکی و صحت برای هر روش در نظر بگیریم همانطور که از نتایج پیداست، \hat{x}_M بیشترین نزدیکی را به عنوان جواب صحیح دارد و خطای حاصل از کمیت‌های برآورده با ضریب ارائه شده در این مقاله ۰.۰۳۸ است پس از آن و با فاصله بهترین نتیجه مربوط به \hat{x}_Z می‌شود که صحت آن حدود ۰.۰۵ است. نکته دیگر این است که \hat{x}_L با جواب کلاسیک الگوریتم گرگ خاکستری یعنی \hat{x}_G از نظر صحت در رده‌های بعدی قرار دارند و به ترتیب ۱.۹۸۶ و ۲.۵۸۲ می‌باشند. نتایج حاکی از این است که مطابق انتظار ضریب کاهشی پیشنهاد شده در این مقاله توانسته به خوبی این مسئله غیرخطی را مدلسازی نماید و به بهترین جواب ممکن برسد.

۵- نتیجه‌گیری

حل مسائل غیرخطی و مدلسازی آن، یکی از چالش‌های مهم علوم کاربردی و مهندسی می‌باشد و الگوریتم‌های

مراجع

[1] Mahboub, Vahid. "A weighted least-squares solution to a 3-D symmetrical similarity transformation without linearization." *Studia geophysica et geodaetica* 60, no. 2 (2016): 195-209.

[2] Mahboub, Vahid, Somayeh Ebrahimzadeh, Mohammad Saadatseresht, and Mehran Faramarzi. "On robust constrained Kalman filter for dynamic errors-in-variables model." *Survey review* 52, no. 372 (2020): 253-260.

- [3] Bonabeau E, Dorigo M, Theraulaz G, Theraulaz G. Swarm intelligence: from natural to artificial systems. Oxford university press; 1999.
- [4] Mirjalili, Seyedali, Seyed Mohammad Mirjalili, and Andrew Lewis. "Grey wolf optimizer." *Advances in engineering software* 69 (2014): 46-61.
- [5] Deb, Kalyanmoy, and Soumil Srivastava. "A genetic algorithm based augmented Lagrangian method for constrained optimization." *Computational optimization and Applications* 53 (2012): 869-902.
- [6] Long, Wen, Ximing Liang, Yafei Huang, and Yixiong Chen. "An effective hybrid cuckoo search algorithm for constrained global optimization." *Neural Computing and Applications* 25 (2014): 911-926.
- [7] Brajevic, Ivona. "Crossover-based artificial bee colony algorithm for constrained optimization problems." *Neural Computing and Applications* 26 (2015): 1587-1601.
- [8] Li, Yu, Xiaoxiao Lin, and Jingsen Liu. "An improved gray wolf optimization algorithm to solve engineering problems." *Sustainability* 13, no. 6 (2021): 3208.
- [9] Zhang, Min, Xunjie Zhang, Haibo Wang, Guowen Xiong, and Wenming Cheng. "Features fusion exaction and KELM with modified grey wolf optimizer for mixture control chart patterns recognition." *Ieee Access* 8 (2020): 42469-42480.
- [10] Mahboub, Vahid, and Somayeh Ebrahimzadeh. "Non-linear block least-squares adjustment for a large number of observations." *Survey Review* 54, no. 387 (2022): 479-489.
- [11] Mahboub, Vahid. "On weighted total least-squares for geodetic transformations." *Journal of geodesy* 86, no. 5 (2012): 359-367.